

(財)電力中央研究所 正員 ○当麻純一

" " 国生剛治

" " 岩橋徹広

## 1. まえがき

SH波の伝播による地盤の振動性状を把握するために、モデル地盤が自由にセン断変形できるような「セン断土槽」<sup>(1)</sup>を製作し、従来種々の実験を行ってきている。本報告は、この土槽内に作成した密な乾燥砂地盤の振動応答の基本的性状を、そこからみられる非線形性に着目して整理したものである。

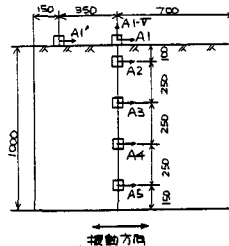


図1 加速度計の配置

## 2. 正弦波入力に対する加速度応答

正弦波の振幅を 10, 20, 40, 80 (gal) の4段階に変化させて、各々 5~50 (Hz) の振動範囲で共振実験を行った。表面の水平方向の応答で、A1 と A1' は図2にみる如く、入力波に対する応答倍率、位相差ともに比較的良く一致しており、土槽端壁の影響は

無視してさしつかえない程度であることがわかる。また、上下方向の応答 A1-T はほとんどない。二次振動数付近では、A1 と A1' に多くの位相差があり、A1-T のわずかな増幅もあるため、二次振動では最もセン断変形を行つとは言えないと、一次共振が問題となるような振動範囲では、地盤はほぼ理想的なセン断振動を行つてこれが確認された。図3は、一次共振時の応答倍率の変化を入力波の振幅との関係でみたものである。入力波の振幅の増大に伴つて、応答倍率は△曲線型に低下することがわかる。図4は、一次共振振動数  $f_1$  と二次共振振動数  $f_2$  の変化を、同じく入力波の振幅との関係でみたものである。共振振動数は、入力波の振幅の増大に伴つて△曲線型に低下する。これらは土壤材料の非線形物性の影響によるものと考えられる。すなわち、① 応答倍率は地盤の減衰定数  $\gamma$  に關係し、 $\gamma$  が△曲線型のひずみ依存性を示して増大すること、

② 共振振動数は地盤のセン断剛性率  $G$  に關係し、 $G$  が△曲線型のひずみ依存性を示して低下すること、に対応している。地盤を等方、等質なセン断振動系と仮定すれば、 $n$ 次の固有振動数  $f_n$  は  $f_n = \frac{2\pi - 1}{4H} \cdot V_S$  ( $m=1, 2, \dots$ ) である。ここに、 $H$ : 地盤の厚さ、 $V_S$ : セン断波速度 ( $= \sqrt{G}$ )。 $f_1$  と  $f_2$  との關係は上式によれば

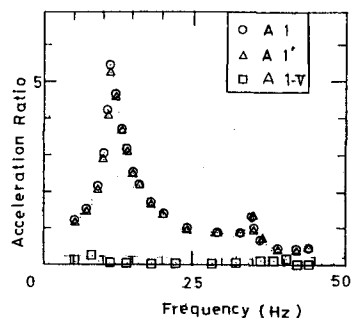


図2-a 共振曲線(入力20gal)

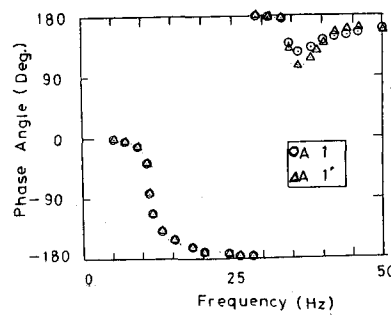


図2-b 位相曲線(入力20gal)

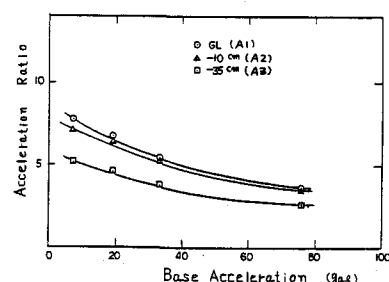


図3 加速度応答倍率の低下

$f_2 = 3 \cdot f_1$  であり、これを図4に破線で示した。 $f_2$  の実験値(図中 A)の低下率はこれよりも小さい。これは、二次共振では一次共振時よりもひずみレベルが小さいので、前述の非線形の影響が現れていためであると考えられる。図5に、共振振動時の水平加速度応答の深さ分布を示す。等高線を仮定した場合の振動形の基準周波数  $X(x)$  は、

$$X(x) = C \cdot \sin \frac{(2m-1)\pi x}{2H} \quad (m=1, 2, \dots), \quad C: \text{定数}, \quad x: \text{高さ}.$$

であるが、図5にみると、モデル地盤の振動形はこれとは多少異なり、特に表面の浅い部分で、上式から得られる振動形との差異が目立つ。

### 3. 不規則入力に対する加速度応答

地震波形(EL CENTRO NS '40)の最大

振幅を 10, 20, 40, 80, 160, 320 (gal)

の 6 段階に変化させて、その各々につき時

間軸を  $1/6, 1/5, 1/4, 1/3, 1/2$  に縮尺し

た不規則波を用いて振動実験を行った。表

面(A1)の最大加速度応答倍率の変化を入

力加速度の最大振幅との関係でみたのが、

図6である。時刻縮尺  $1/6$  では入力 10 (gal)

以上で応答が低下しているのに対して、時

間軸縮尺  $1/3$  では、途中 80~90 (gal) 付近

で、応答のピークがみられる。振動形の卓

越振動数は 2~3 (Hz) なので、前者の波

は 12~18 (Hz), 後者の波は 6~9 (Hz)

の卓越振動数を有している。図4から類推して、正弦波入力

80~90 (gal) に対応する地盤の一次共振振動数は 6~9 (Hz) 程度となるので、不規則波入力に対して、後者の時に

入力の卓越振動数と地盤の卓越振動数が一致し、共振現象が生

じるものと考えられる。次に、入力振幅が 400 (gal) を越すと、

入力波の卓越振動数によらずに、いずれの場合も応答倍率が 1

以下になる傾向がみられる。最大加速度応答倍率の深さ分布

図7をみると、入力波の卓越振動数と最大振幅の組合せにより、

応答の分布形状は大きく異なり、特に、

小さい入力レベルでは表面(A1)の増

幅が顕著で、大きい入力レベルでは、

深さ中央付近(A3)での低下がみら

れる。

(1) 国生剛治、岩橋做広

「軟弱地盤の非線形震動特性に

についての模型実験と解説」

土木学会論文報告集 No. 285 (1979)

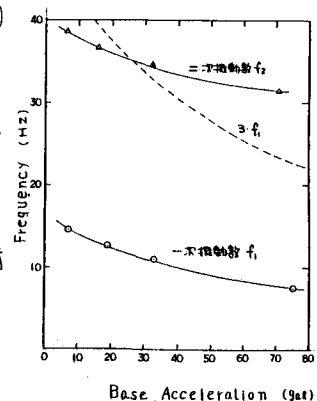


図4. 共振振動数の低下

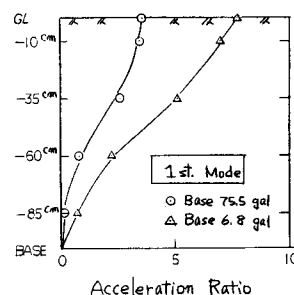


図5-a 加速度の深さ分布  
(-一次共振時)

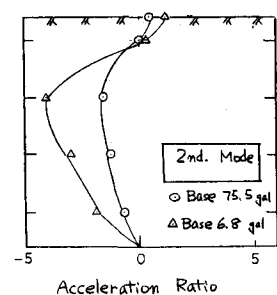


図5-b 加速度の深さ分布  
(ニセ共振時)

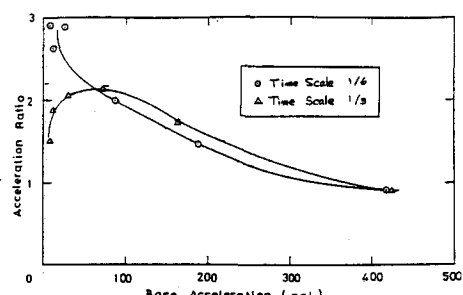
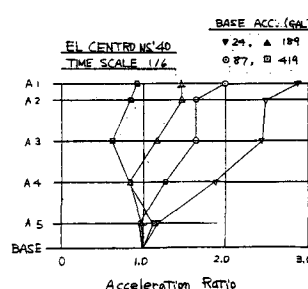
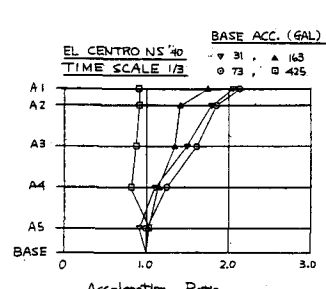


図6. 最大加速度応答倍率の変化



EL CENTRO NS '40  
TIME SCALE 1/6  
BASE ACC. (gal)  
24, ▲ 109  
37, □ 41  
189



EL CENTRO NS '40  
TIME SCALE 1/3  
BASE ACC. (gal)  
31, ▲ 163  
73, □ 425

図7-a 加速度の深さ分布

図7-b 加速度の深さ分布